Capítulo 7

Física Atômica

7.1 Equação de Schrödinger em 3 Dimensões

Generalizando a representação do operador momento do caso unidimensional, temos:

$$P_x = -i\hbar \frac{d}{dx} \qquad (1D)$$

$$\rightarrow \vec{P} = -i\hbar \left(\frac{\partial}{\partial x}, \frac{\partial}{\partial y}, \frac{\partial}{\partial z} \right) = -i\hbar \vec{\nabla} \qquad (3D)$$

e a Eq. de Schrödinger independente do tempo em 3 dimensões fica

$$\nabla^2 \psi(\vec{x}) + \frac{2m}{\hbar^2} \left[E - U(\vec{x}) \right] \psi(\vec{x}) = 0 \tag{7.3}$$

onde a função de onda $\psi(\vec{x}) = \psi(x, y, z)$.

7.2 Potencial Central

Vamos agora considerar a Eq. de Schrödinger quando a energia potencial depende apenas de uma coordenada radial r em coordenadas esféricas:

$$U(\vec{x}) = U(r, \theta, \phi) = U(r) \tag{7.4}$$

No caso específico do átomo de Hidrogênio, temos

$$U(r) = -\frac{e^2}{4\pi\epsilon_0 r} \,, (7.5)$$

mas grande parte da discussão a seguir vale para qualquer sistema com um potencial central.

Dada a simetria esférica do problema, é conveniente trabalhar em coordenadas esféricas $\vec{x}=(r,\theta,\phi)$, nas quais o laplaciano é dado por:

$$\nabla^2 = \frac{1}{r^2} \frac{\partial}{\partial r} \left(r^2 \frac{\partial}{\partial r} \right) + \frac{1}{r^2 \sin \theta} \frac{\partial}{\partial \theta} \left(\sin \theta \frac{\partial}{\partial \theta} \right) + \frac{1}{r^2 \sin^2 \theta} \frac{\partial^2}{\partial \phi^2}$$
 (7.6)

Vamos assumir que a função de onda $\psi(r, \theta, \phi)$ em coordenadas esféricas, pode ser escrita como o produto de funções de cada variável:

$$\psi(r,\theta,\phi) = R(r)\Theta(\theta)\Phi(\phi). \tag{7.7}$$

Substituindo essa forma funcional na Eq. de Schrödinger, temos

$$\frac{1}{r^2} \frac{\partial}{\partial r} \left(r^2 \frac{\partial R\Theta\Phi}{\partial r} \right) + \frac{1}{r^2 \sin \theta} \frac{\partial}{\partial \theta} \left(\sin \theta \frac{\partial R\Theta\Phi}{\partial \theta} \right) + \frac{1}{r^2 \sin^2 \theta} \frac{\partial^2 R\Theta\Phi}{\partial \phi^2} + \frac{2m}{\hbar^2} \left[E - U(r) \right] R\Theta\Phi = 0$$

$$\frac{\Theta\Phi}{r^2} \frac{d}{dr} \left(r^2 \frac{dR}{dr} \right) + \frac{R\Phi}{r^2 \sin \theta} \frac{d}{d\theta} \left(\sin \theta \frac{d\Theta}{d\theta} \right) + \frac{R\Theta}{r^2 \sin^2 \theta} \frac{d^2\Phi}{d\phi^2} + \frac{2m}{\hbar^2} \left[E - U(r) \right] R\Theta\Phi = 0$$

onde as derivadas parciais se tornaram derivadas totais, pois atuam em funções apenas das variáveis correspondentes. Multiplicando esta equação por $r^2 \sin^2 \theta / (R\Theta\Phi)$, temos

$$\frac{\sin^2 \theta}{R} \frac{d}{dr} \left(r^2 \frac{dR}{dr} \right) + \frac{\sin \theta}{\Theta} \frac{d}{d\theta} \left(\sin \theta \frac{d\Theta}{d\theta} \right) + \frac{1}{\Phi} \frac{d^2 \Phi}{d\phi^2} + \frac{2m}{\hbar^2} r^2 \sin^2 \theta \left[E - U(r) \right] = 0 \tag{7.8}$$

ou

$$\frac{\sin^2\theta}{R}\frac{d}{dr}\left(r^2\frac{dR}{dr}\right) + \frac{\sin\theta}{\Theta}\frac{d}{d\theta}\left(\sin\theta\frac{d\Theta}{d\theta}\right) + \frac{2m}{\hbar^2}r^2\sin^2\theta\left[E - U(r)\right] = -\frac{1}{\Phi}\frac{d^2\Phi}{d\phi^2} \tag{7.9}$$

O lado direito é função apenas de ϕ , enquanto o lado esquerdo é função apenas de r e θ . A única maneira desta igualdade ser verdadeira é que ambos os lados sejam iguais a uma constante comum, que designaremos m^2 , e então:

$$-\frac{1}{\Phi}\frac{d^2\Phi}{d\phi^2} = m^2 \tag{7.10}$$

ou seja,

$$\boxed{\frac{d^2\Phi}{d\phi^2} = -m^2\Phi} \tag{7.11}$$

e

$$\frac{\sin^2 \theta}{R} \frac{d}{dr} \left(r^2 \frac{dR}{dr} \right) + \frac{\sin \theta}{\Theta} \frac{d}{d\theta} \left(\sin \theta \frac{d\Theta}{d\theta} \right) + \frac{2m}{\hbar^2} r^2 \sin^2 \theta \left[E - U(r) \right] = m^2$$

$$\frac{1}{R} \frac{d}{dr} \left(r^2 \frac{dR}{dr} \right) + \frac{1}{\Theta \sin \theta} \frac{d}{d\theta} \left(\sin \theta \frac{d\Theta}{\partial \theta} \right) + \frac{2m}{\hbar^2} r^2 \left[E - U(r) \right] = \frac{m^2}{\sin^2 \theta}$$

ou

$$\frac{1}{R}\frac{d}{dr}\left(r^2\frac{dR}{dr}\right) + \frac{2m}{\hbar^2}r^2\left[E - U(r)\right] = \frac{m^2}{\sin^2\theta} - \frac{1}{\Theta\sin\theta}\frac{d}{d\theta}\left(\sin\theta\frac{d\Theta}{\partial\theta}\right)$$
(7.12)

Agora o lado esquerdo depende apenas de r, enquanto o lado dirieto depende apenas de ϕ , e portanto ambos os lados devem ser iguais a uma nova constante. Por conveniência, e por já saber o que há por vir a seguir, vamos chamar essa constante de l(l+1), e assim:

$$\frac{m^2}{\sin^2 \theta} - \frac{1}{\Theta \sin \theta} \frac{d}{d\theta} \left(\sin \theta \frac{d\Theta}{\partial \theta} \right) = l(l+1) \tag{7.13}$$

ou

$$-\frac{1}{\sin\theta} \frac{d}{d\theta} \left(\sin\theta \frac{d\Theta}{d\theta} \right) + \frac{m^2\Theta}{\sin^2\theta} = l(l+1)\Theta$$
 (7.14)

e

$$\frac{1}{R}\frac{d}{dr}\left(r^2\frac{dR}{dr}\right) + \frac{2m}{\hbar^2}r^2\left[E - U(r)\right] = l(l+1)$$
 (7.15)

ou

$$\frac{1}{r^2} \frac{d}{dr} \left(r^2 \frac{dR}{dr} \right) + \frac{2m}{\hbar^2} \left[E - U(r) - \frac{\hbar^2 l(l+1)}{2mr^2} \right] R = 0$$
 (7.16)

Com a separação de variáveis, transformamos uma equação com 3 derivadas parciais em 3 equações ordinárias de uma variável cada.

7.3 Soluções das Equações Angulares

Vamos comecar com a primeira equação

$$\frac{d^2\Phi(\phi)}{d\phi^2} = -m^2\Phi(\phi) \tag{7.17}$$

cuja solução é

$$\Phi(\phi) = e^{im\phi} \tag{7.18}$$

Como os angulos $\phi = 0$ e $\phi = 2\pi$ são os mesmos, devemos ter:

$$\Phi(0) = \Phi(2\pi) \tag{7.19}$$

ou seja

$$e^{im0} = e^{im2\pi}$$

 $1 = \cos(m2\pi) + i\sin(m2\pi)$ (7.20)

Esta condicao implica que m deve ser um numero inteiro $(\cos(m2\pi) = 1 \text{ e} \sin(m2\pi) = 0)$, ou seja:

$$|m| = 0, 1, 2, 3, \dots$$
 (7.21)

Já para a segunda equação, temos

$$-\frac{1}{\sin\theta} \frac{d}{d\theta} \left(\sin\theta \frac{d\Theta}{d\theta} \right) + \frac{m^2\Theta}{\sin^2\theta} = l(l+1)\Theta$$

$$\rightarrow \frac{1}{\sin\theta} \frac{d}{d\theta} \left(\frac{\sin^2\theta}{\sin\theta} \frac{d\Theta}{d\theta} \right) + \left[l(l-1) - \frac{m^2\Theta}{\sin^2\theta} \right] \Theta = 0$$
(7.22)

Fazendo a mudança de variável:

$$z = \cos \theta, \qquad dz = -\sin \theta d\theta, \qquad \sin^2 \theta = 1 - z^2$$
 (7.23)

a equação se torna

$$\frac{d}{dz}\left[(1-z^2)\frac{d\Theta}{dz}\right] + \left[l(l+1) - \frac{m^2}{1-z^2}\right]\Theta = 0$$
(7.24)

ou

$$(1 - z^2)\frac{d^2\Theta}{dz^2} - 2z\frac{d\Theta}{dz} + \left[l(l+1) - \frac{m^2}{1 - z^2}\right]\Theta = 0$$
 (7.25)

Essa é a Equação de Legendre associada. Para obter sua solução, considere primeiro a Equa cão de Legendre, obtida com m=0:

$$(1-z^2)\frac{d^2P_l}{dz^2} - 2z\frac{dP_l}{dz} + l(l+1)P_l = 0 (7.26)$$

Pode-se mostrar que a solu cão que procuramos é dada por:

$$\Theta(z) = P_{lm}(z) = (1 - z^2)^{|m|/2} \frac{d^{|m|} P_l(z)}{dz^{|m|}}$$
(7.27)

ou seja, para encontrar a solução que procuramos, i.e. os polinômios de Legendre associados P_{lm} , basta encontrar os polinômios de Legendre P_l que sasisfazem a Eq. 7.25, e derivá-los |m| vezes de acordo com a Eq. 7.27.

Para isso, similarmente ao caso do oscilador harmônico, propomos uma solução em série de potências:

$$P_l(z) = \sum_{j=0}^{\infty} a_j z^j \tag{7.28}$$

Substituindo essa expansão na equação diferencial, obtemos uma relação de recorrência:

$$a_{j+2} = \frac{j(j+1) - l(l+1)}{(j+2)(j+1)} a_j \tag{7.29}$$

e vemos que para $j \to \infty$, temos $a_{j+2} \to a_j$. Portanto, quando $j \to \infty$, essa serie tem termos constantes e diverge, i.e. $P_l(z) = \infty$ em e.g. z = 1, o que daria funções de onda infinitas. A única maneira de evitar isso é impor que a série termine. Isso ocorre se l for um inteiro da forma:

$$l = 0, 1, 2, 3, \dots$$
 (7.30)

pois o coeficiente $a_{j+2} = 0$ quando j = l. Usando a Eq. 7.29, obtermos os polinômios de Legendre:

$$P_0(z) = 1 (7.31)$$

$$P_1(z) = z \tag{7.32}$$

$$P_2(z) = 1 - 3z^2 (7.33)$$

$$P_3(z) = 3z - 5z^3 (7.34)$$

e a partir deles, podemos obter os polinomios de Legendre associados P_{lm} , por diferenciação de P_l , |m| vezes. Como P_l é um polinômio de ordem l, podemos diferenciá-lo no máximo l vezes antes de obter uma constante. Portanto |m| < l, ou seja, para cada valor de l, m pode ser

$$|m| = l, l - 1, l - 2, l - 3, ..., 0$$
 (7.35)

ou

$$m = \pm l, \pm (l-2), \pm (l-3), ...0$$
 (7.36)

Por exemplo, se l=3, temos que os valores possíves de m são $m=0,\pm 1,\pm 2,\pm 3$. Os polinômios de Legendre Associados ficam:

$$P_{00} = 1 ag{7.37}$$

$$P_{10} = z,$$
 $P_{1\pm 1} = (1-z^2)^{1/2}$ (7.38)
 $P_{20} = 1-3z^2,$ $P_{2+1} = (1-z^2)^{1/2}z,$ $P_{2+2} = 1-z^2$ (7.39)

$$P_{20} = 1 - 3z^2, P_{2\pm 1} = (1 - z^2)^{1/2}z, P_{2\pm 2} = 1 - z^2$$
 (7.39)

(7.40)

A parte angular total da função de onda é proporcional aos chamados Harmônicos Esféricos:

$$Y_{lm}(\theta,\phi) \propto \Theta(\theta)\Phi(\phi) = e^{im\phi}P_{lm}(\cos\theta)$$
 (7.41)

Portanto, para especificar a parte angular da função de onda, precisamos especificar dois números quânticos l e m, sendo que m se relaciona com l pela equação acima. Mas qual o significado físico desses números?

7.4Momento Angular

Com as definições dos operadores posição e momento:

$$X = x, Y = y, Z = z (7.42)$$

$$P_x = -i\hbar \frac{\partial}{\partial x}, \qquad P_y = -i\hbar \frac{\partial}{\partial y}, \qquad P_z = -i\hbar \frac{\partial}{\partial z}$$
 (7.43)

podemos definir operadores momento angular $\vec{L} = (L_x, L_y, L_z)$ da maneira usual, e mudar para coordenadas esféricas:

$$L_x = YP_z - ZP_y = -i\hbar \left(y \frac{\partial}{\partial z} - z \frac{\partial}{\partial y} \right) = i\hbar \left(\sin \phi \frac{\partial}{\partial \theta} + \cos \phi \cot \theta \frac{\partial}{\partial \phi} \right)$$
 (7.44)

$$L_y = ZP_x - XP_z = -i\hbar \left(z \frac{\partial}{\partial x} - x \frac{\partial}{\partial z} \right) = i\hbar \left(-\cos \phi \frac{\partial}{\partial \theta} + \sin \phi \cot \theta \frac{\partial}{\partial \phi} \right)$$
(7.45)

$$L_z = XP_y - YP_z = -i\hbar \left(x \frac{\partial}{\partial y} - y \frac{\partial}{\partial x} \right) = -i\hbar \frac{\partial}{\partial \phi}$$
 (7.46)

Pode-se mostrar ainda que $L^2=L_x^2+L_y^2+L_z^2$ fica, em coordenadas esféricas:

$$L^{2} = -\hbar^{2} \left[\frac{1}{\sin \theta} \frac{\partial}{\partial \theta} \left(\sin \theta \frac{\partial}{\partial \theta} \right) + \frac{1}{\sin^{2} \theta} \frac{\partial^{2}}{\partial \phi^{2}} \right]$$
 (7.47)

$$L_z^2 = -\hbar^2 \frac{\partial^2}{\partial \phi^2} \tag{7.48}$$

Vamos supor que existam funções $A(\theta,\phi)=\Theta(\theta)\Phi(\phi)$ que sejam autofunções de L^2 e L_z , ou seja:

$$-\hbar^2 \frac{\partial^2}{\partial \phi^2} A = L_z^2 A \qquad (A = \Theta \Phi)$$

$$\rightarrow \frac{d^2 \Phi}{d \phi^2} = -\frac{L_z^2}{\hbar^2} \Phi \qquad (7.49)$$

Essa é exatamente a equação que resolvemos na seção anterior com $m=L_z/\hbar$, ou

$$L_z = m\hbar \tag{7.50}$$

Portanto, o número quântico m representa a componente z do momento angular em unidades de \hbar , i.e. L_z é quantizado como um número inteiro m vezes \hbar !

Por outro lado:

$$-\hbar^{2} \left[\frac{1}{\sin \theta} \frac{\partial A}{\partial \theta} \left(\sin \theta \frac{\partial A}{\partial \theta} \right) + \frac{1}{\sin^{2} \theta} \frac{\partial^{2} A}{\partial \phi^{2}} \right] = L^{2} A \qquad (A = \Theta \Phi)$$

$$\rightarrow -\frac{1}{\sin \theta} \frac{d\Theta}{d\theta} \left(\sin \theta \frac{d\Theta}{d\theta} \right) + \frac{m^{2} \Theta}{\sin^{2} \theta} = \frac{L^{2}}{\hbar^{2}} \Theta$$

$$(7.51)$$

que é idêntica à equação da seção anterior com $l(l+1)=L^2/\hbar^2$, ou

$$L^2 = l(l+1)\hbar^2 (7.52)$$

$$\to L = \sqrt{l(l+1)}\hbar \tag{7.53}$$

Portanto, o número quântico l é tal que o momento angular total é quantizado em unidades de \hbar como acima. Isso quase corresponde à quantizacao imposta por Bohr, mas não exatamente. Note que como $|m_{\text{max}}| = l$, temos que necessariamente $L > L_z$, já que $l(l+1) > l^2 = m_{\text{max}}^2$. Qualitativamente, isso ocorre porque não podemos saber as três componentes L_x, L_y, L_z simultaneamente. Caso $L=L_z$ fosse possível, saberíamos que $L_x=L_y=0$ exatamente. As relações de incerteza de L são consequência de sua dependência em x e p e das relações de incerteza destas.

7.5 Solução da Equação Radial

Só falta agora resolver a equação radial para o potencial específico do átomo de Hidrogênio:

$$U(r) = -\frac{e^2}{4\pi\epsilon_0 r} \tag{7.54}$$

ou seja,

$$\frac{1}{r^2} \frac{d}{dr} \left(r^2 \frac{dR}{dr} \right) + \frac{2m_e}{\hbar^2} \left[E + \frac{e^2}{4\pi\epsilon_0 r} - \frac{\hbar^2 l(l+1)}{2m_e r^2} \right] R = 0 \tag{7.55}$$

Iniciamos com as mudanças de variáveis:

$$\rho = 2\beta r \tag{7.56}$$

$$\beta^2 = \frac{2m_e E}{\hbar^2} \tag{7.57}$$

$$\beta^{2} = \frac{2m_{e}E}{\hbar^{2}}$$

$$n = \frac{m_{e}e^{2}}{4\pi\epsilon_{0}\hbar^{2}\beta}$$

$$(7.57)$$

em termos das quais, a equação fica

$$\frac{1}{\rho^2} \frac{d}{d\rho} \left(\rho^2 \frac{dR}{d\rho} \right) + \left[-\frac{1}{4} - \frac{l(l+1)}{\rho^2} + \frac{n}{\rho} \right] R = 0$$
 (7.59)

Quando $\rho \to \infty$, temos

$$\frac{1}{\rho^2} \frac{d}{d\rho} \left(\rho^2 \frac{dR}{d\rho} \right) = \frac{R}{4} \qquad (\rho \to \infty) \tag{7.60}$$

cuja solução neste limite é

$$R(\rho) = e^{-\rho^2/2} \qquad (\rho \to \infty) \tag{7.61}$$

Portanto, propomos a solução geral como

$$R(\rho) = e^{-\rho/2} F(\rho) \tag{7.62}$$

Substituindo na equação, obtemos uma equação para $F(\rho)$:

$$\frac{d^2F}{d\rho^2} + \left(\frac{2}{\rho} - 1\right)\frac{dF}{d\rho} + \left[\frac{n-1}{\rho} - \frac{l(l+1)}{\rho^2}\right]F = 0$$
 (7.63)

Propomos uma solução em séries:

$$F(\rho) = \rho^s \sum_{j=0}^{\infty} a_j \rho^j, \qquad s \ge 0$$

$$(7.64)$$

onde o termo ρ^s garante que F(0) é finita, já que os próprios coeficientes da equação diferencial parecem divergir em $\rho = 0$. Substituindo na equação, obtemos

$$[s(s+1) - l(l+1)] a_0 \rho^{s-2} + \sum_{j=0}^{\infty} \{[(s+j+1)(s+j+2) - l(l+1)] a_{j+1} - (s+j+1-n)a_j\} \rho^{s+j-1} = 0$$

e para que a igualdade valha para todo valor de ρ , devemos ter

$$s(s+1) - l(l+1) = 0 (7.65)$$

$$a_{j+1} = \frac{s+j+1-n}{(s+j+1)(s+j+2)-l(l+1)}a_j$$
 (7.66)

A primeira condição implica s = l ou s = -(l + 1). Mas como s > 0 tomamos s = l. Assim

$$a_{j+1} = \frac{l+j+1-n}{(l+j+1)(l+j+2)-l(l+1)}a_j \tag{7.67}$$

Novamente, para $j \to \infty$, temos $a_{j+1} \to a_j/j$, que é o mesmo comportamento de e^{ρ} e faz $F(\rho) = e^{\rho/2} \to \infty$. Portanto, a série deve ser truncada tornando $F(\rho)$ um polinômio. Isso ocorre desde que n seja um número inteiro com valores:

$$\boxed{n = l + 1, l + 2, l + 3, \dots} \tag{7.68}$$

Sabendo que n é um número inteiro, temos então para a energia E:

$$E = -\frac{\beta^2 \hbar^2}{2m} = -\frac{me^4}{(4\pi\epsilon_0)^2 2\hbar^2 n^2}$$
 (7.69)

ou seja, com $\hbar = h/2\pi$

$$E_n = -\frac{me^4}{8n^2h^2\epsilon_0^2} \tag{7.70}$$

que é exatamente o espectro de energias obtido por Bohr.

Portanto, as energias do elétron no átomo dependem apenas do número quântico n. Já os números quânticos l e m caracterizam o estado do elétron, determinando seu momento angular total e a componente z do momento angular.

Denominamos o polinômio da série de L_{nl} , já que eles dependem de n e l, e são chamados polinômios de Laquerre associados. A solução radial fica então:

$$R_{nl}(\rho) = e^{-\rho/2} F_{nl}(\rho) = e^{-\rho/2} \rho^l L_{nl}(\rho)$$
(7.71)

Por fim, temos

$$\rho = 2\beta r = 2\left(-\frac{2mE}{\hbar^2}\right)^{1/2} r = 2\left(\frac{2m}{\hbar^2} \frac{me^4}{8n^2h^2\epsilon_0^2}\right)^{1/2} r = \frac{me^2}{\hbar nh\epsilon_0} r = 2\frac{\pi me^2}{nh^2\epsilon_0} r \tag{7.72}$$

ou com a definição do raio de Bohr:

$$a_0 = \frac{h^2 \epsilon_0}{\pi m e^2} \tag{7.73}$$

temos

$$\rho = \frac{2r}{na_0} \tag{7.74}$$

e

$$R_{nl}(r) = e^{-r/na_0} \left(\frac{2r}{na_0}\right)^l L_{nl} \left(\frac{2r}{na_0}\right)$$
(7.75)

7.6 Solução final

Por fim, a solução final das autofunções do átomo de Hidrogênio fica

$$\boxed{\psi_{nlm}(r,\theta,\phi) \propto R_{nl}(r)Y_{lm}(\theta,\phi)}$$
(7.76)

onde, portanto, os números quanticos n, l e m caracterizam o estado (função de onda) do elétron no átomo de hidrogênio. Eles são dados por:

$$n = 1, 2, 3, \dots$$
 (7.77)

Para cada valor de n, temos

$$l = 0, 1, 2, ..., (n-2), (n-1)$$
(7.78)

E para cada valor de l, temos

$$m = 0, \pm 1, \pm 2, ..., \pm l$$
 (7.79)

Portanto, para cada valor de n, temos n valores para l. E para cada valor de l, temos 2l + 1 valores de m.

7.6.1 Estado Fundamental

O estado mais simples corresponde a n=1, em cujo caso l=0 e m=0. Neste caso, a energia é

$$E_0 = -\frac{me^4}{8h^2\epsilon_0^2} = -13.6 \text{ eV}$$
 (7.80)

E para nlm=100, temos $R_{10}\propto e^{-r/na_0}$ e $Y_{00}\propto {\rm const.}$ Assim, normalizando, temos:

$$\psi_{100} = \sqrt{\frac{1}{\pi a_0^3}} e^{-r/a_0} \tag{7.81}$$

e a densidade de probabilidade de encontrar o eletron em um volume dV é

$$P_{100}dV = |\psi_{100}|^2 (r^2 \sin\theta d\theta d\phi dr) \tag{7.82}$$

Portanto a probabilidde de encontrar o eletron em um raio r em torno de dr é

$$P_{100}dr = |\psi_{100}|^2 (4\pi r^2)dr = \frac{4}{a_0^3} r^2 e^{-2r/a_0} dr$$
(7.83)

Podemos encontrar o ponto $r_{\rm max}$ onde P_{100} é máxima, i.e.:

$$\frac{dP_{100}}{dr} = \frac{4}{a_0^3} e^{-3r/a_0} \left(2r - \frac{2r^2}{a_0}\right) = 0 \qquad \to \qquad r = a_0 \tag{7.84}$$

Ou seja, quando o elétron está no estado fundamental, o raio mais provável de encontrá-lo é de fato o raio de Bohr. A probabilidade P_{100} está mostrada na Fig. 7.1.

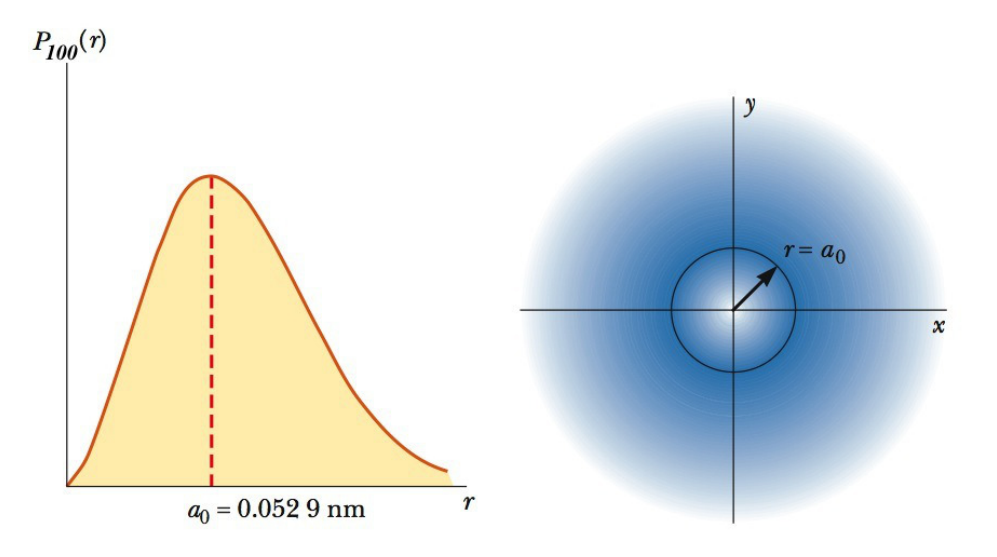


Figura 7.1: Densidade de probabilidade $P_{100}(r)$ do elétron no átomo de Hidrogênio no estado fundamental (n, lm, = 1, 0, 0). O máximo ocorre no raio de Bohr a_0 . (Serway)

7.7Séries Espectrais

As energias possíveis do modelo de Bohr explicaram observações feitas anos antes acerca do espectro do átomo de Hidrogênio. Com a obtenção por Schrödinger dessas mesmas energias, a Eq. de Schrödinger ganhou credibilidade na descrição de fenômenos quânticos.

Com os níveis energéticos quantizados, as possíveis transições eletrônicas, bem como os fótons emitidos nessas transições também ficavam restringidos. Com os níveis

$$E_n = -\frac{me^4}{8\epsilon_0^2 h^2 n^2} = -\frac{13.6 \text{ eV}}{n^2}$$
 (7.85)

os fótons de energia $E = h\nu = hc/\lambda$ podiam ter comprimentos de onda dados por

$$\frac{hc}{\lambda_{if}} = \Delta E_{if} = E_i - E_f = \frac{me^4}{8\epsilon_0^2 h^2} \left(\frac{1}{n_f^2} - \frac{1}{n_i^2}\right)$$
(7.86) Figura 7.2: Transição de um eletron do nível *i* para o nivel *f*, emitindo um fóton de comprimento de onda λ . (Serway)

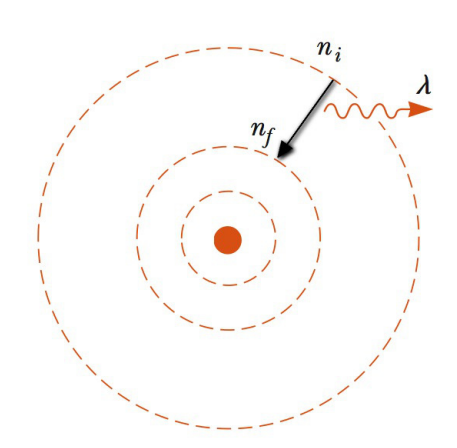


Figura 7.2: Transição de um elétron do

ou seja, na transição do nível i para o nível f, como na Fig. 7.2, temos

$$\frac{1}{\lambda_{if}} = R\left(\frac{1}{n_f^2} - \frac{1}{n_i^2}\right) \tag{7.87}$$

onde a constante de Rydberg R é

$$R = \frac{me^4}{8\epsilon_0^2 h^3 c} = 1.097 \times 10^7 \text{m}^{-1}.$$
 (7.88)

Podemos então classificar as emissões possíveis no átomo em séries de acordo com o valor de n_f , como na Tab. 7.1.

Em particular, a série de Balmer $(n_f = 2)$, que tem os 4 primeiros comprimentos de onda no visível $(H_{\alpha}, H_{\beta}, H_{\gamma}, H_{\delta})$, já havia sido obtida em 1885:

$$\begin{array}{rcl} n_i &=& 3 & \rightarrow \lambda = 656.3 \text{ nm (vermelha)}: \ H_{\alpha} \\ n_i &=& 4 & \rightarrow \lambda = 486.1 \text{ nm (azul/verde)}: \ H_{\beta} \\ & \dots \\ n_i &=& \infty & \rightarrow \lambda = 364.6 \text{ nm}: \ H_{\infty} \end{array}$$

Foi tentando explicar esses números que Bohr concebeu seu modelo atômico, imaginando que a quantização do que "sai"do átomo deveria estar conectada à quantização do que está "dentro" do átomo.

Série	n_f	Luz
Lyman	1	Ultravioleta
Balmer	2	Visivel e Ultravioleta
Paschen	3	Infravermelho
Brackett	4	Infravermelho
Pfund	5	Infravermelho

Tabela 7.1: Séries espectrais do átomo de Hidrogênio. Cada valor de n_f dá origem a uma série de possíveis emissões para valores $n_i > n_f$.